### 东亚飞蝗谷胱甘肽 S - 转移酶 RNA 干扰效率研究<sup> $\dagger$ </sup>

刘 婷¹ 秦国华¹² 张建珍¹ 马恩波¹\*\*\*

(1. 山西大学应用生物学研究所 太原 030006; 2. 山西大学环境与资源学院 太原 030006)

摘 要 东亚飞蝗 Locusta migratoria manilensis (Meyen) 是我国主要的农业害虫之一,已发现东亚飞蝗对某些农药产生了抗性,其抗性机制可能与谷胱甘肽硫转移酶(GST)代谢解毒相关。本研究利用特异性引物合成东亚飞蝗GST 4 个不同家族基因的双链 RNA(dsRNA) 将 dsRNA 注射到东亚飞蝗幼虫体内,采用 Real time RT-PCR 技术测定了干扰不同时间后目的基因 mRNA 的表达水平。结果表明 A 个不同家族 GST 的沉默效应具有时间差异。来自 delta 家族的 LmGSTdI 和 sigma 家族的 LmGSTsS 基因在注射 dsRNA 后 12 h 时 mRNA 量就已显著下降;而来自 theta 家族的 LmGSTtI 和 unknown 家族的 LmGSTuI 基因在注射 24 h 后 mRNA 水平才呈现显著下降。本研究对后续东亚飞蝗 GST 功能及抗性机制研究提供了基础资料和依据,同时对其它昆虫 RNA 干扰研究具有一定的借鉴作用。

关键词 谷胱甘肽硫转移酶,东亚飞蝗,RNA干扰,时间效应

## The RNA interference efficiency of glutathione S-transferases from Locusta migratoria manilensis

LIU Ting<sup>1</sup> QIN Guo-Hua <sup>1,2</sup> ZHANG Jian-Zhen<sup>1</sup> MA En-Bo<sup>1\*\*</sup>
(1. Institute of Applied Biology, Shanxi University, Taiyuan 030006, China;

2. College of Environment and Resource , Shanxi University , Taiyuan 030006 , China)

Abstract The migratory locust, Locusta migratoria manilensis (Meyen) (Orthoptera: Acridoidea), is one of the most important pests in our country. Resistance of this locust to some insecticides has been detected and the resistance mechanism hypothesized to involve glutathione S-transferases (GST). In this study, double-stranded RNA of four different classes of GST was synthesized using specific gene primers and injected into the 2<sup>nd</sup> instar nymphs of L. m. manilensis. The effects of silencing time on target GSTs mRNA expression was assayed by real time RT-PCR. The results show that the expression of LmGSTd1 and LmGSTs5 were reduced significantly 12 h after injection, whereas LmGSTt1 and LmGSTu1 were reduced significantly 24 h after injection. These results provide a foundation for further study of GST function and mechanisms in locusts.

Key words glutathione S-transferases (GSTs), Locusta migratoria manilensis, RNAi, time effect

RNA 干扰(RNA interference,RNAi) 指利用外源或内源的双链 RNA (double-stranded RNA,dsRNA) 特异性地沉默基因表达。dsRNA 进入生物体内后,被一种称为 Dicer 的核酸酶切割,形成大约21~25 nt 的干扰性小 RNA 片段(siRNA),siRNA 识别并且靶向切割同源性靶 mRNA 分子,从而引起特异基因的沉默(Misquitta and Paterson,

1999; Zamore et al. , 2000) o

自 1995 年研究者在对秀丽隐杆线虫(Caenorhabditis elegans)的研究中发现了反义 RNA 沉默现象以来(Guo and Kemphues ,1995),作为一种新型的分子生物学技术,RNA 干扰在昆虫中主要用于对基因功能的研究,在害虫防治方面的研究还相对较少。Mao 等(2007) 在棉铃虫的研究

<sup>\*</sup> 资助项目: 国家自然科学基金重大国际合作项目(30810103907)、国家自然科学基金(30870302)、中国博士后科学基金(201003656 和 20090451359)。

<sup>\*\*\*</sup>通讯作者 Æ-mail: maenbo2003@ sxu. edu. cn 收稿日期: 2011-05-05 接受日期: 2011-05-12

中,将与代谢解毒直接相关基因的 dsRNA 在拟南芥和烟草上成功表达,棉铃虫取食转基因植物后相关基因表达受到抑制,从而对棉子酚的抗性显著降低,从而成功地证实了通过 RNAi 进行害虫防治是切实可行的。

东亚飞蝗 Locusta migratoria manilensis (Meyen),隶属于直翅目,蝗总科,斑翅蝗科,飞蝗 属。东亚飞蝗以禾本科与莎草科植物为食,是农业 生产中最为重要的害虫之一(朱恩林,1999)。作者 所在课题组于 2004 年首次提出东亚飞蝗具有抗药 性 且其抗药性机制可能与谷胱甘肽 S-转移酶 (glutathione S-transferases GSTs) 代谢解毒相关(Ma et al., 2004; Yang et al., 2009)。GSTs 是生物体内 的一类Ⅱ相代谢酶,能使有害的亲电物质与内源的 还原型谷胱甘肽(reduced glutathione, GSH)结合, 使之更易于排出体外(刘小丽等,2003;宣涛等, 2009)。GSTs 也是涉及代谢抗性的重要解毒酶之 一 ,主要介导有机磷、拟除虫菊酯和 DDT 等的抗性 , 昆虫杀虫剂抗性水平与 GSTs 活性水平相关(刘小 丽等 2003; 宣涛等 2009)。作者最近已获得东亚飞 蝗10个GST基因的全长,分别属于delta、sigma、 theta 和 unknown 4 个家族(Qin et al., 2011)。

本文利用 RNA 干扰技术沉默 4 个不同家族 谷胱甘肽 S - 转移酶基因 ,在  $12 \times 24 \times 48 \times 72$  和 96 h 分别检测不同家族 GST 基因 mRNA 表达水平 ,探

索不同家族 GST 基因的干扰效率及最佳干扰时间,为进一步开展各 GST 基因功能及其在抗药性的作用提供研究基础,并为其它昆虫的 RNA 干扰研究提供参考和借鉴。

#### 1 材料与方法

#### 1.1 材料和试剂

东亚飞蝗: 从广西南宁购买虫卵,人工气候箱进行孵化,光照 L: D=14:10,温度 $(30\pm2)$  °C,相对湿度为60%。选择同一时间孵化的若虫转移至纱笼中,给以新鲜小麦幼苗和适当的光照,喷水保持湿度。

试剂: RNA 提取试剂 RNAiso<sup>™</sup> Plu 和 DNase I (RNase Free) 购于 Takara 公司; RevertAid<sup>™</sup> H Minus M-MuLV 反转录酶购于 Fermentas 公司; 2 × Taq PCR MasterMix 购于天根公司; SYBR® Premix Ex Taq<sup>™</sup> II 购于 TaKaRa 公司; Wizard® SV Gel and PCR Clean-Up System 试剂盒和 T7 RiboMAX<sup>™</sup> Express RNAi System 试剂盒均购于 Promega 公司。

#### 1.2 东亚飞蝗谷胱甘肽硫转移酶引物设计

根据已知的东亚飞蝗谷胱甘肽硫转移酶基因片段,使用 primer Express 3.0 软件设计 GST 基因的 dsRNA 合成引物和表达引物,所有引物均由上海英骏公司合成。

表 1 东亚飞蝗谷胱甘肽硫转移酶基因的 dsRNA 合成引物和表达引物 Table 1 Primers used for expression analysis and dsRNA synthesis of GSTs

| GenBank  | Gene    | Primers | Sequence(5´-3´)                              |
|----------|---------|---------|--|
| HM131834 | LmGSTd1 | ds-F    | TAATACGACTCACTATAGGGGCAAAGAAGAGAGAGCATTGGTGA |
|          |         | ds-R    | TAATACGACTCACTATAGGGGCTCCTGCGTGATTAGTTTCTTC  |
|          |         | RT-F    | ACAGATGAAGCCAGAGTA                           |
|          |         | RT-R    | TCCTTAGGGTAAAGTGAGT                          |
| HM131840 | LmGSTs5 | ds-F    | TAATACGACTCACTATAGGGACATGGCAGTTGACACAATATCAG |
|          |         | ds-R    | TAATACGACTCACTATAGGGTGGTCTCTTGCTAATCCACTCCTT |
|          |         | RT-F    | GGGAAGACGACGTGCAGTCT                         |
|          |         | RT-R    | CTGCAGATCTTCCCAGTCATTG                       |
| HM131843 | LmGSTt1 | ds-F    | TAATACGACTCACTATAGGGTGGCAAATGACATCCCTTAT     |
|          |         | ds-R    | TAATACGACTCACTATAGGGTGGCAAATGACATCCCTTAT     |
|          |         | RT-F    | CCAGAACAGTGGCTAGGCGGGAACG                    |
|          |         | RT-R    | GTGGGACACCTCCATACTT                          |
| HM131835 | LmGSTu1 | ds-F    | TAATACGACTCACTATAGGGCGCCTGGTCCGTTTAGTG       |
|          |         | ds-R    | TAATACGACTCACTATAGGGTCCAGCCCTTCGTTCACTT      |
|          | β-actin | RT-F    | GAACGAAGGCTGGAAAC                            |
|          |         | RT-R    | GAGCGATGACAGGGAGAT                           |

1.3 东亚飞蝗谷胱甘肽硫转移酶基因的干扰效 果的检测

1. 3. 1 东亚飞蝗谷胱甘肽硫转移酶基因 dsRNA 的合成 根据已得到的东亚飞蝗谷胱甘肽硫转移酶的核苷酸序列,设计特异性 dsRNA 合成引物,引物信息见表 1。以克隆测序确认含有各基因全长序列的质粒 DNA 为模板进行 PCR 扩增,扩增条件为 95℃ 3 min 95℃ 30 s ,55℃ 30 s ,72℃ 30 s ,25个循环,72℃10 min。所得 PCR 产物用 Wizard® SV Gel and PCR Clean—Up System (Promega) 试剂盒回收纯化。对纯化后的 PCR 产物进行定量,使所获产物满足进行 dsRNA 体外合成的量。 dsRNA合成参照 T7 RiboMAX™ Express RNAi System (Promega) 试剂盒进行,最后得到的 dsRNA 用 1.5%的琼脂糖凝胶电泳检测,酶标仪(Molecular Devices,Menlo Park,CA,USA)将其定量至终浓度为 1.5 μg/μL,保存至 –80℃备用。

1.3.2 dsRNA 的体外注射 选取东亚飞蝗 2 龄第 3 天大小均一、健康状况一致的若虫为实验用虫。使用微量注射器(宁波三爱仪器厂)自虫体腹部侧面第 2 至 3 腹节的侧膜处进行注射,处理组注射 dsRNA 的量为 3  $\mu$ g,对照组注射相等体积的无菌水,每组均注射 50 头若虫,若虫注射后放入与 1.1 条件相同的人工气候箱内饲养,分别于 12、24、48、72 和 96 h 取样,每一时间点设 3 个生物学重复,每个生物学重复含 3 头若虫。样品在液氮中迅速冷冻后保存于 -80 个中备用。

1.3.3 不同时间点整虫 cDNA 第一链的合成 采用 RNAiso<sup>™</sup> Plus (Takara) 提取各组若虫的总 RNA 并用 DNase I (RNase Free) 纯化所提取的 RNA RNA 电泳与定量检测后 ,参照 RevertAid<sup>™</sup> H Minus M-MuLV 反转录酶说明书以 0.5 μg 进行 cDNA 模板的合成。

1. 3. 4 实时荧光定量 PCR 分析东亚飞蝗谷胱甘肽硫转移酶 mRNA 水平的表达 以上述 cDNA 为模板进行实时荧光定量 PCR 扩增。反应采用荧光染料 SYBR Green I 在 ABI Prism 7300 进行,PCR 扩增条件为:  $95 \,^{\circ} \,^{\circ}$ 

物学重复,每个样品2次技术重复。

#### 1.4 数据统计与分析

将 12 h 对照组目的基因与  $\beta$ -actin 相对表达量比值标准化为 1 ,其余各组为目的基因与  $\beta$ -actin 相对表达量比值与对照组的比值。采用 SPSS15. 0 进行统计学检验,结果为平均值  $\pm$  标准误(n=3),采用 Fisher's LSD 多重比较检验,P<0. 05 表示有显著性差异。

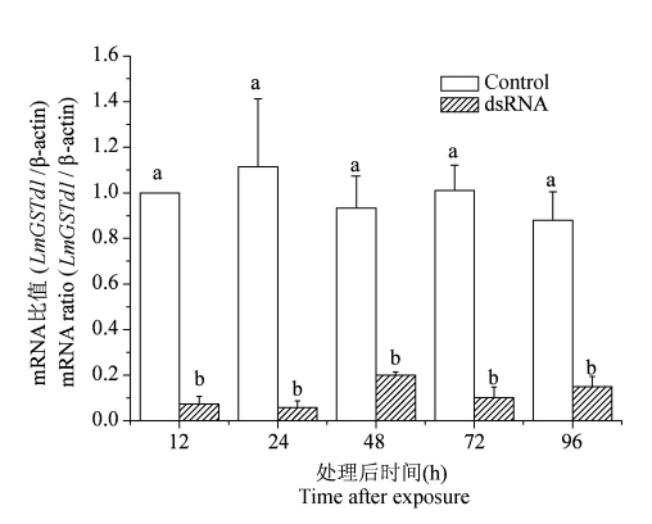
#### 2 结果与分析

运用 Real-time qPCR 对东亚飞蝗注射不同家族 GST 基因 dsRNA 后不同时间点各基因的 mRNA 表达水平进行了分析 ,结果显示: LmGSTdI 在注射 dsRNA 后 12 h 时 mRNA 的表达量显著下降 , mRNA 水平仅为对照组的 7.33% ,在 48 h 后 mRNA 表达量有所回升 ,但干扰效率仍在 80% 以上(图 1)。与 LmGSTdI 相似 ,LmGSTs5 也在注射 dsRNA 后 12 h 时 mRNA 量显著下降 ,为对照组的 7.9% ,但高水平的干扰效率一直持续到 96 h 尚未恢复(图 2)。LmGSTtI 和 LmGSTuI 虽在注射 dsRNA 后 12 h 时有所下降 ,但与对照组相比统计学检验并不显著 在 24 h 后 mRNA 量呈现显著下降 (图 3 4)。

#### 3 讨论

RNAi 即双链 RNA 介导的同源 mRNA 特异性降解的过程。具体来说,就是暴露在细胞内部的dsRNA 首先被加工成 21~23 nt 的 siRNA ,然后形成的 RNA 诱导沉默复合物介导了 mRNA 的特异性降解,导致转录后基因沉默。作为一种高效、特异的调节基因表达技术,RNAi 技术可以很容易地导致个体特定基因缺失表型,在研究基因功能时更加方便、快捷(Napoli et al. ,1990)。

利用 RNAi 研究基因的主要特点有: (1) RNAi 特异性强,能够专一性地降解与序列相应的单个内源基因的 mRNA,但不影响其它基因的表达(Fire et al.,1998)。(2) RNAi 抑制基因表达具有高效性,相对很少量的 dsRNA 分子(远少于内源 mRNA 的数量) 就能完全抑制该基因的表达。(3) RNAi 抑制基因表达的效应不受细胞限制,在不同细胞间可以长距离传递和维持。(4) 使用范围广、成本低。综上所述,RNAi 能高效特异地抑



#### 图 1 LmGSTd1 不同时间的干扰效率

# Fig. 1 Silencing effects of *LmGSTd1* at different time 注:图中数值为平均值 $\pm$ 标准误 将 12 h 对照组标准化为 1(目的基因值 /β-actin) ,其余各组数值为与对照组的比值 (n=3)。采用 Fisher's LSD 多重比较检验,不同字母表示有显著性差异(P<0.05)。下图同。

Averaged data from three independent experiments are given together with SE. Mean expression in each groups is shown as a fold increased compared to mean expression in control group at 12 h which has been ascribed an arbitrary value of 1 ( taget gene/ $\beta$ -actin ) . Different letters represents significant difference at 0.05 level. ( Fisher's LSD multiple comparison test) . The same below.

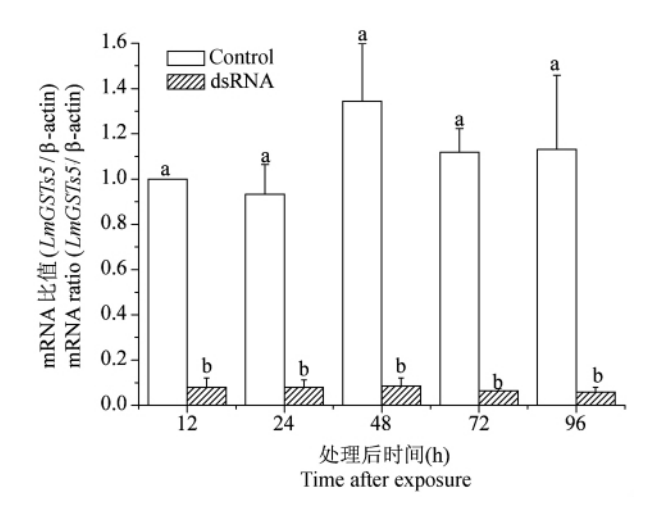


图 2 LmGSTs5 不同时间的干扰效率 Fig. 2 Silencing effects of LmGSTs5 at different time

制基因的表达,因而广泛应用于基因功能的研究(Montgomery *et al.*, 1998)。

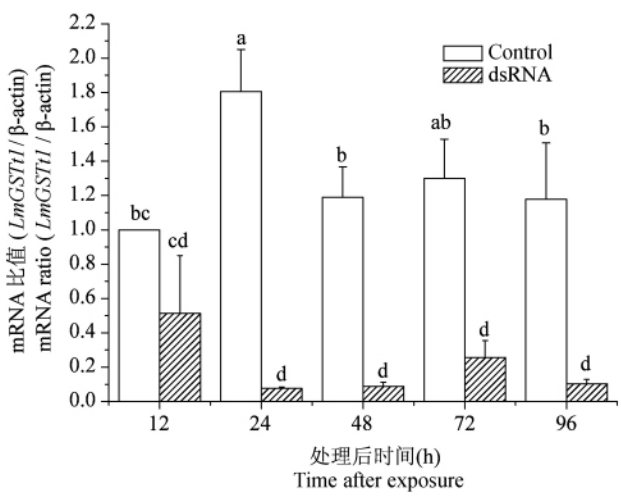


图 3 LmGSTt1 不同时间的干扰效率

Fig. 3 Silencing effects of LmGSTt1 at different time

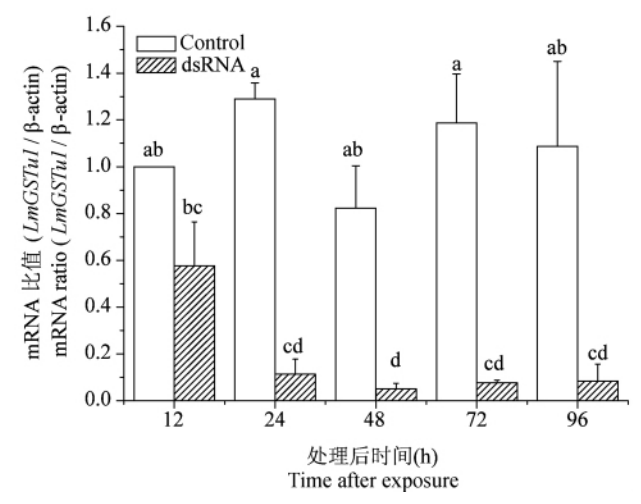


图 4 LmGSTu1 不同时间的干扰效率

Fig. 4 Silencing effects of LmGSTu1 at different time

在昆虫 RNAi 研究中,主要的方法有注射、浸泡、喂食和转基因等方法。对于某种特定的昆虫来说,选择一种合适的 dsRNA 导入方法是至关重要的。将体外合成的 dsRNA 通过微量操作器注射入体内后很容易在体内扩散,引起 RNAi ,且干扰效果明显,定量准确,所以作者选择微量注射的方法。有研究表明,在不同物种间达到明显 RNAi 效果所需要的 dsRNA 的有效剂量是不同的,有的可以相差几个数量级。如在鞘翅目昆虫中,某一基因达到明显 RNAi 效果的 dsRNA 剂量,用于鳞翅目昆虫则没有效果而必须加大所使用剂量(Zhuang et al., 2008)。推测上述现象的原因是不同物种体内的 RNAi 体系及机理不尽相同

(Arakane *et al.*, 2005)。本实验中采用 3 μg 对 2 龄东亚飞蝗若虫进行注射,得到了很好的干扰效 果。

RNAi 的时效性是很受关注的问题,在众多方 法中,注射法的 RNAi 效果最为直接,因为 dsRNA 可以直接进入生物体随开放式循环而迅速遍布全 身,所以了解注射后何时开始出现干扰效应,何时 干扰效果最好就显得非常重要。本实验中选择东 亚飞蝗 2 龄第 3 天的若虫进行注射,若选择太小 的虫体,因其腹节较短不易操作;若选择较大若 虫 则需加大注射剂量造成伤口过大增加其死亡 率。故2龄第3天是东亚飞蝗较为理想的注射时 期。不同的物种其 RNAi 持续的时间也不尽相同, 因此检测 RNAi 效果的时间点就显得尤为重要 (Levin et al., 2005)。检测的时间过早,很有可能 RNAi 效应还未开始,则检测不到预期的干扰效 果; 检测时间过晚,则可能由于 mRNA 恢复至正常 水平,干扰效果可能大幅度降低,也不能检测到 RNAi的效果。本实验在大量重复预实验的基础 上,发现不同家族 GST 基因最佳干扰效果出现的 时间不同, delta 和 sigma 家族的 LmGSTd1 和 LmGSTs5 是在 12 h 出现 ,而 theta 和 unknown 家族 的 LmGSTt1 和 LmGSTu1 则是在 24 h 出现 ,所有家 族的 GST 在出现干扰效果之后较长的一段时间内 都保持较好的干扰效果。

本文对后续进行东亚飞蝗 GST 的功能及抗药性研究有重要的指导意义,为进一步鉴定 GST 基因功能提供了基础资料,同时,本研究为基于RNAi 技术对东亚飞蝗进行有效控制奠定了基础,对其它昆虫开展 RNA 干扰研究也有一定的借鉴意义。

#### 参考文献(References)

- Arakane Y, Muthukrishnan S, Kramer KJ, 2005. The *Tribolium* chitin synthase genes *TcCHS1* and *TcCHS2* are specialized for synthesis of epidermal cuticle and midgut peritrophic matrix. *Insect Mol. Biol.*, 14(5):453—463.
- Fire A , Xu S , Montgomery M , Kostas S , 1998. Potent and specific genetic interference mediated by double-stranded RNA in *Caenorhabditis elegans*. Nature , 391:806—811.
- Guo S , Kemphues KJ , 1995. par-I , a gene required for establishing polarity in C. elegans embryos , encodes a putative Ser/Thr kinase that is asymmetrically distributed.

- Cell, 81(4):611—620.
- Levin DM, Breuer LN, Zhuang S, Anderson SA, Nardi JB, Kanost MR, 2005. A hemocyte-specific integrin required for hemocytic encapsulation in the tobacco hornworm, Manduca sexta. Insect Biochem. Mol. Biol., 35(5):369—380.
- 刘小丽,廖祥儒,赵立梅,2003. GST 酶的提取纯化及特性分析.河北大学学报(自然科学版),23(2):170—174.
- Ma EB, He YP, Zhu KY, 2004. Comparative studies of acetylcholinesterases purified from two field populations of the oriental migratory locusta ( *Locusta migratoria manilensis*): implications of insecticide resistance. *Pest Biochem. Physiol.*, 78(1):67—77.
- Mao YB, Cai WJ, Wang JW, Hong GJ, Tao XY, Wang LJ, Huang YP, Chen XY, 2007. Silencing a cotton bollworm P450 monooxygenase gene by plant-mediated RNAi impairs larval tolerance of gossypol. *Nature Biotechnology*, 25 (11):1307—1313.
- Misquitta L , Paterson BM , 1999. Targeted disruption of gene function in *Drosophila* by RNA interference (RNAi): a role for nautilus in embryonic somatic muscle formation. *Proc. Natl. Acad. Sci. USA* , 96(4): 1451—1456.
- Montgomery MK, Xu SQ, Fire A, 1998. RNA as a target of double-stranded RNA-mediated genetic interference in Caenorhabditis elegans. Proc. Natl. Acad. Sci. USA, 95 (26):15502—15507.
- Napoli C , Lemieux C , Jorgensen R , 1990. Introduction of a chimeric chalcone synthase gene into petunia results in reversible co-suppression of homologous gene in trans. Plant Cell , 2(4): 279—289.
- Qin G, Jia M, Liu T, Xuan T, Yan Zhu K, Guo Y, Ma E, Zhang J, 2011. Identification and characterisation of ten glutathione S-transferase genes from oriental migratory locust, Locusta migratoria manilensis (Meyen). Pest Manag. Sci., 67(6):697—704.
- 宣涛,吴海花,郭亚平,2009. 东亚飞蝗谷胱甘肽 S 转移 酶分离纯化. 昆虫知识,46(3):480—484.
- Yang ML, Zhang JZ, Zhu KY, Xuan T, Liu XJ, Guo YP, Ma EB, 2009. Mechanisms of organophosphate resistance in a field population of oriental migratory locust, Locusta migratoria manilensis (Meyen). Arch. Insect Biochem. Physiol., 71(1):3—15.
- Zamore PD, Tuschl T, Sharp PA, Bartel DP, 2000. RNAi: Double-stranded RNA directs the ATP-dependent cleavage of mRNA at 21 to 23 nucleotide intervals. *Cell*, 101(1): 25—33.

朱恩林,1999. 中国东亚飞蝗发生与治理. 北京:中国农业出版社.3—558.

Zhuang SF , Lisha K , James BN , 2008. Multiple alpha

subunits of integrin are involved in cell-mediated responses of the Manduca immune system.  $Dev.\ Comp.\ Immunol.$ , 32(4):365-379.